## МИНИСТЕРСТВО ОБРАЗОВАНИЯ И НАУКИ РОССИЙСКОЙ ФЕДЕРАЦИИ

# федеральное государственное бюджетное образовательное учреждение высшего образования

«Тольяттинский государственный университет»

### Институт энергетики и электротехники

(наименование института полностью)

Кафедра «<u>Электроснабжение и электротехника</u>» (наименование кафедры)

#### 13.03.02 Электроэнергетика и электротехника

(код и наименование направления подготовки, специальности)

#### Электроснабжение

(направленность (профиль)/специализация)

### БАКАЛАВРСКАЯ РАБОТА

на тему «Реконструкция РП-16 Центрального района г. Тольятти»

| Студент                   | Н.В. Евдокимова                        |                  |
|---------------------------|--|------------------|
| Руководитель              | (И.О. Фамилия)<br>С.В. Шаповалов       | (личная подпись) |
| _                         | (И.О. Фамилия)                         | (личная подпись) |
|                           |  |                  |
|                           |  |                  |
|                           |  |                  |
|                           |  |                  |
| <b>Допустить к защите</b> |  |                  |
| Завелующий кафелро        | й д.т.н., профессор В.В. Вахнина       |                  |
|                           | (ученая степень, звание, И.О. Фамилия) | (личная подпись) |

#### Аннотация

Темой данной работы является «Реконструкция РП-16 напряжением 6 кВ Центрального района города Тольятти».

Реконструкция предусматривает перевод электропитания РП-16 с 2-х вводов от подстанции "Северная" на электропитание по 4-м вводам: 2 ввода с подстанции "Западная", что позволит обеспечить бесперебойное электроснабжение существующих абонентов в случае аварийной ситуации на одном из вводов, а также замену морально и физически устаревшего электрооборудования на современное с более высокой степенью надежности и большей мощностью.

Актуальность темы заключается в повышении надежности электроснабжения существующих абонентов и обеспечении их растущих потребностей, а также в обеспечении возможности подключения новых объектов капитального строительства.

Целью данной работы является выбор электрооборудования для реконструкции РП–16, соответствующего всем действующим нормативам и требованиям, обеспечивающего высокую степень надежности электроснабжения существующих абонентов путем полной защиты от всех нештатных режимов работы и возможность подключения новых объектов капитального строительства.

Данная работа состоит из пояснительной записки объёмом 60 страниц, включающая в себя текстовую часть, 8 таблиц и 12 рисунков, и графического материала на 6-ти листах формата A1.

## Содержание

| Введение   |
|--|
| 1 Общая характеристика объекта и анализ установленного оборудования 7  |
| 2 Распределение нагрузки по секциям РП до и после реконструкции 10     |
| 2.1 Расчет электрических нагрузок потребителей, запитанных от РП-16 12 |
| 3 Расчет токов короткого замыкания Ошибка! Закладка не определена.     |
| 4 Выбор комплектного распределительного устройства                     |
| 5 Выбор электрических аппаратов и токоведущих частей27                 |
| 5.1 Выбор выключателей   |
| 5.2 Выбор трансформатора тока  |
| 5.3 Выбор трансформатора напряжения                                    |
| 5.4 Выбор разъединителя  |
| 5.5 Выбор жестких шин  |
| 5.6 Выбор изоляторов   |
| 6 Релейная защита и автоматика   |
| 7 Выбор трансформатора собственных нужд РП-16                          |
| 8 Размещение и монтаж  |
| 9 Заземление и молниезащита  |
| 10 Дуговая защита на РП-16   |
| Заключение   |
| Список используемых источников   |

#### Введение

Стабильное и бесперебойное электропитание жизненно необходимо для нормальной жизни, здоровья населения и работы предприятий, заводов и учреждений.

Чтобы осуществлять электроснабжение целого города и окружающих его поселений необходима целая система электрических сетей. Данная система имеет индивидуальные особенности. Система электрических сетей города электроустановок, которые предназначены состоит ИЗ ДЛЯ его электроснабжения, а именно: преобразовательные и понижающие подстанции, электростанции, распределительные питающие линии, a также электроприемники, обеспечивающие функционирование хозяйственнобытовых, транспортных и промышленных потребителей, располагающихся в городской черте и в пригороде. С помощью электросетей осуществляется питание жилого фонда, маленьких, средних И, конечно, крупных промышленных потребителей, городского электрического транспорта и т.д. В связи с этим электрические сети являются самостоятельной отраслью энергетики.

В связи с постоянным притоком населения в города, развитием промышленности, созданием новых энергоемких производств требуется постоянное совершенствование электрических сетей и сооружений электроснабжения, в том числе осуществление работ по их модернизации и реконструкции.

Учитывая актуальность данного вопроса, настоящая работа посвящена реконструкции распределительного пункта РП-16 6кВ, который находится в черте г. Тольятти Самарской обл. В результате проведенного анализа существующей ситуации на данном РП выявлено следующее.

От данного РП-16 осуществляется электроснабжение многоквартирных жилых домов, Городской детской больницы №1, Тольяттинского пансионата

ветеранов труда, магазинов И других социально-значимых объектов, расположенных в зоне его действия. Подача электроэнергии на РП-16 осуществляется по двум вводам, но с одной подстанции "Северная", в связи, с чем в случае аварийной ситуации на подстанции электроснабжение абонентов будет прекращено. Кроме этого, учитывая срок службы данного РП (год ввода в эксплуатацию - 1988), установленное в нем оборудование морально и физически устарело и требует замены. При этом данное сооружение проектировалось без учета перспективной нагрузки подключения новых объектов кап.строительства и в настоящее время на РП отсутствует резерв мощности.

Таким образом основным недостатком существующего положения дел является то, что установленное в распределительном пункте оборудование не соответствует современным критериям эффективности и требованиям надежности.

Решением данной проблемы является выполнение работ по реконструкции РП с заменой оборудования на более современное с высокой степенью надежности и большей мощностью, с переводом электропитания РП от 2-х вводов на 4 ввода от двух подстанций.

Целью настоящей работы является решение указанной проблемы в части выбора для реконструкции РП–16 электрооборудования, соответствующего всем действующим нормативам и требованиям, обеспечивающего высокую степень надежности электроснабжения существующих абонентов путем полной защиты от всех нештатных режимов работы и возможность подключения новых объектов капитального строительства.

Для достижения данной цели в работе решаются следующие задачи:

- Выполнение расчёта токов КЗ.
- Выбор комплектного распределительного устройства и устанавливаемого оборудования.
  - Выбор трансформатора собственных нужд.

- Выбор микропроцессорных устройств, обеспечивающих релейную защиту.
  - Разработка плана размещения ячеек в помещениях РП- 16
  - Выбор способа молниезащиты.

# 1 Общая характеристика объекта и анализ установленного оборудования

Распределительный пункт (РП) №16 находится в Центральном районе г.Тольятти по адресу: ул. Лесная, д.За. Данный РП находится в эксплуатации и обслуживании ресурсоснабжающей организации АО «ОРЭС- Тольятти». Данная организация осуществляет электроснабжение Центрального и Комсомольского района г.о.Тольятти·

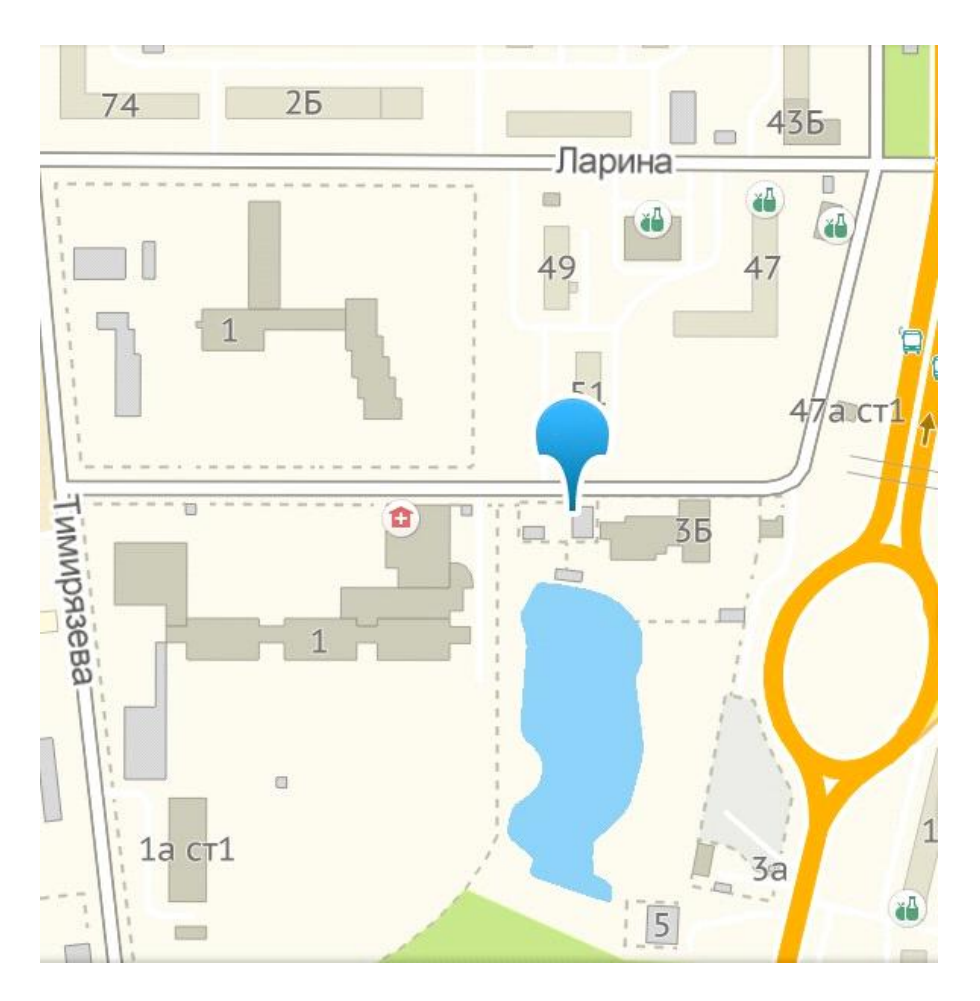


Рисунок 1.1 - Расположение РП-16

Распределительный пункт РП-16 необходим для приема и распределения электроэнергии среди разных потребителей без ее превращения и видоизменения.

РП-16 представляет из себя отдельно стоящее одноэтажное здание высотой 4,3м, прямоугольное в плане размером 12,00 на 11,20 метров.

Строение РП-16 относится: по степени ответственности - к классу "2", по долговечности -к степени "2", по пожарной опасности, следуя 123-Ф3, к категории Д, степень огнестойкости ІІ. Здание РП с кирпичными несущими стенами толщиной 380мм. Стены выполнены из обыкновенного глиняного кирпича пластического прессования по ГОСТ 530-95.

Перекрытие РП построено из сборных железобетонных плит. Крыша односкатная с неорганизованным водоотводом. Полы бетонные с кабельканалами. В РП имеются два входа габаритами 1,51х2,3м, находящимися по торцам строения. В продольных стенах строения с обеих сторон глубиной 1,2м. от уровня пола предусмотрен ввод силовых электрических кабелей.

РП укомплектовано ячейками сборными одностороннего обслуживания серии КСО-272 в количестве, каждая из которых включает в себя: разъединитель РВФ3-10/630, маломасляный выключатель ВПМ-10, трансформатор ТПЛ-10/400/5, разъединитель РВ3-10/630 и др. Ячейки установлены в два ряда, сгруппированы в 2 секции из 9-ти и 8-ми ячеек. В этом же помещении располагается щиток собственных нужд на освещение и электроотопление. Год ввода в эксплуатацию данного РП- 1988, т.е по состоянию на начало 2018г. оборудование РП морально и физически устарело и требует замены. В связи с эти в процессе реконструкции предусмотрена замена установленного оборудования.

Подача электроэнергии на РП-16 осуществляется по двум вводам, но с одной подстанции "Северная", в связи, с чем не обеспечивается достаточная степень надежности потребителей электроэнергии.

Учитывая, что от РП-16 осуществляется электроснабжение многоквартирных жилых домов и высоко значимых социальных объектов, а именно: Городской детской больницы №1, Тольяттинского пансионата ветеранов труда, магазинов и др., наличие только 2-х вводов, при этом от одной подстанции, является значительным недостатком.

В связи с этим реконструкция РП-16 включает в себя перевод РП на питание от 4-х вводов, что позволит обеспечить бесперебойное электроснабжение существующих абонентов в случае аварийной ситуации на одном из вводов.

Установленные в РП-16 маломасляные выключатели ВПМ-10 имеют общий недостаток- малый ресурс работы, особенно в связи с частыми коммутациями. Согласно инструкции по эксплуатации масленых выключателей их капитальный ремонт проводится один раз в 6 лет или при всего лишь 6 отключениях к.з. Эти недостатки, а также вероятность взрыва при сработке, постоянный мониторинг уровня масла, небольшие отклонения по уровню при установке, обязательность мощных приводов включения ведут к признанию масляных выключателей сильно устаревшими. В связи с чем в рамках реконструкции РП планируется замена установленных масляных выключателей на более современный вид выключателей- вакуумные.

Вакуумные выключатели намного проще в установке и обслуживании, чем масляные и их основными преимуществами являются:

- нет необходимости менять и доливать масло;
- высокая износоустойчивость при отключении рабочих токов и токов КЗ;
- проще в эксплуатации;
- -более низкие эксплуатационные затраты;
- малошумность, чистота, простота обслуживания,
- малые размеры и масса выключателей, маленькие динамические влияние на конструкцию;
- простота смены вакуумной дугогасительной камеры (ВДК) и ее свободного положение при проектировании выключателя;
  - высокая скорость работы;
  - экологичность.

#### 2 Распределение нагрузки по секциям РП до и после реконструкции

Показателями качества электрической энергии являются: напряжение, частота форма синусоиды переменного тока. В обязанности тока, ресурсоснабжающих организаций, являющихся поставщиками электроэнергии, входит поддержка всех ее параметров в соответствии с нормативными требованиями. В зависимости от абонентов нагрузки (потребителей основных характеристик электроэнергии) величина меняется, значительных отклонениях влечет за собой возникновение сбоев в работе бытовых электрических устройств, причина снижение качества электроэнергии.

В существующей схеме РП-16 имеются следующие недостатки: питание осуществляется либо от эл.подстанции «Северная», либо с подстанции «Западной»; вся нагрузка ложится на одну секцию. В связи с этим возникают сложности с качеством напряжения и его регулирования. Чем выше нагрузка на секции, тем ниже напряжение в конце линии, в связи с чем, ресурсоснабжающая организация вынуждена держать повышенное напряжение на секции. Как видно из рассматриваемой схемы, наличие резервного подключения минимально.

В ходе преддипломной практики были получены данные замеров максимальных нагрузок потребления электроэнергии до реконструкции РП, которые сведены в таблицу 2.1 с разбивкой по фидерам, с указанием резерва.

Таблица 2.1- Электрические нагрузки до реконструкции РП-16

| Номер секции | Номер фидера | Электронагрузка, А |
|--------------|--------------|--------------------|
|              | Ф-1          | резерв             |
|              | Ф-7 ТП 157   | 20                 |
|              | Ф-13 ТП-159  | 26                 |
| 1я           | Ф-15 КТП-127 | 19                 |
|              | Ф-17 ТП-197  | 85                 |
|              | Ф-19 ТП-198  | 49                 |
|              | Ф-21         | резерв             |

#### Продолжение таблицы 2.1

|    | Ф — 22 ТП 242 | 51 |
|----|---------------|----|
|    | Ф — 18 ТП 198 | 57 |
| 2я | Ф — 16 ТП 197 | 78 |
| ZA | Ф — 14 ТП 159 | 25 |
|    | Ф — 12 ТП 157 | 11 |
|    | Ф — 2 ТП 211  | 17 |

После реконструкции схема становится надежнее, появляется возможность перераспределения нагрузок по секциям. В случае аварийной ситуации не возникнет необходимость отключения всех потребителей от питания. Кроме этого отпадет необходимость в повышенном напряжении, что приведет к повышению качества электроэнергии.

В таблице 2.2 указаны нагрузки по фидерам и наличие резерва после проведения реконструкции РП.

Таблица 2.2 - Электрические нагрузки после реконструкции РП-16

| Номер секции | Номер фидера     | Электронагрузка, А |
|--------------|------------------|--------------------|
|              | Ф-2              | резерв             |
| 1я           | Ф-4 ТП-198       | 49                 |
|              | Ф-5 ТП-159       | 25                 |
|              | Ф-6              | резерв             |
|              | Ф-9 ТП-198       | 57                 |
| 2я           | Ф-11             | резерв             |
| 2.1          | Ф-12             | резерв             |
|              | Ф-14 ТП-159      | 26                 |
|              | Ф-24             | резерв             |
|              | Ф-25 ТП-157 (Т1) | 20                 |
| 3я           | Ф-26 ТП-197      | 85                 |
|              | Ф-27             | резерв             |
|              | Ф-28             | резерв             |
|              | Ф-29 ТП-242      | 25                 |

Продолжение таблицы 2.2

|     | Ф-15 ТП-211      | 17     |
|-----|------------------|--------|
|     | Ф-17 ТП-157 (Т2) | 11     |
| 4я  | Ф-28             | резерв |
| 771 | Ф-19 КТП-127     | 19     |
|     | Ф-20 ТП-197      | 78     |
|     | Ф-21 ТП-242      | 26     |

#### 2.1 Расчет электрических нагрузок потребителей, запитанных от РП-16

Для проведения сравнительного анализа значений фактических максимальных нагрузок эл.потребления, полученных путем осуществления замеров, выполнен расчет нагрузок потребителей, запитанных от РП-16.

Из возможных 5-ти методов расчета электрической нагрузки:

- по электрической продукции;
- по обще годовому электропотреблению;
- по удельным мощностям нагрузок;
- по среднегодовому коэффициенту спроса K<sub>c</sub>;
- метод упорядоченных диаграмм;

для расчетов применен метод коэффициента спроса, так как этот метод используется при отсутствии точной информации об имеющихся нагрузках у потребителей.

Расчетная нагрузка определяется по формуле 2.1, при этом все электроприемники объединяются в группы по техническим процессам:

$$P_p = K_c \cdot P_{\text{HOM}}, \tag{2.1}$$

«где  $K_c$ - коэффициент спроса, характерный для электроприемников группы;  $P_{\text{ном}}$ - установленная мощность группы электроприемников»[3]

«Расчётная электрическая нагрузка квартир  $P_{\rm KB}$  кВт, определяется по формуле 2.3:»[3]

$$P_{\text{\tiny KB}} = P_{\text{\tiny KB, VJ}} \cdot n, \tag{2.3}$$

«где  $P_{\text{кв.уд}}$  —удельная расчетная электрическая нагрузка электроприемников квартир, кВт/квартира.n-количество квартир»[3]

«Расчетная нагрузка силовых электроприемников $P_c$ , кВт, находим по формуле 2.4:»[3]

$$P_{\rm c} = P_{\rm II,JI} + P_{\rm CT,V},\tag{2.4}$$

«Мощность лифтовых установок  $P_{p,n}$ , кВт, находим по формуле 2.5:»[3]

$$P_{p,\pi} = k_{\rm c}' \cdot {n_{\pi} \choose 1} P_{n_i}, \tag{2.5}$$

«где  $k_{\rm c}$ -коэффициент спроса;  $n_{\rm n}$ -количество лифтов;  $P_{n_i}$ -установленая можность электродвигателей лифтов, кВт.»[8]

«Мощность электродвигателей насосов водоснабжения, вентиляторов и других санитарно- технических устройств  $P_{\text{ст.y}}$ , кВт, определяется по их установленной мощности с учетом коэффициента спроса  $k_{\text{c}}$ » [3]

$$P_{\text{ct.y}} = k_{\text{c}}^{"} \cdot {}^{n}_{1} P_{\text{ct.y}}, \qquad (2.6)$$

«Расчетная электрическая нагрузка жилого дома  $P_{\text{р.ж.д.}}$ , кВт, определяется по формуле 2.7:»[8]

$$P_{\text{р.ж.},\text{Д}} = P_{\text{вк}} + k_{\text{y}} P_{\text{c}}, \tag{2.7}$$

«где  $P_{\rm BK}$ -расчетная электрическая нагрузка квартир, кВт;  $P_{\rm c}$ -расчетная нагрузка электроприемников жилого дома, кВт;  $k_{\rm y}$ -коэффициент участия в максимуме нагрузки силовых электроприемников (равен 0.9).»[3]

Рассчитаем нагрузку по фидерам:

От Ф-4 запитан:

1.Дом ветеранов труда, в котором проживают 200 человек. Имеется пищеблок, бассейн, прачечная.

Удельная нагрузка по проживающим:

$$P_{\text{л.в}} = 0.36 \cdot 200 \cdot 0.92 = 66.2 \text{kBt}.$$

Пищеблок:

$$P_{\text{п.б}} = 1,04 \cdot 200 \cdot 0,98 = 203,8 \text{kBt}.$$

Нагрузка на бассейн принимаем = 20кВт.

Прачечная:

$$P_{\Pi} = 150 \cdot 0.075 \cdot 0.8 = 9 \text{kBt}$$

Суммарная расчетная нагрузка:

$$P_{\text{CVM}} = 66.2 + 203.8 + 20 + 9 = 299 \text{kBt}$$

2. Павильон «Продукты» общей площадью  $27\text{м}^2$  с кондиционером.

$$P_{\rm M} = 27 \cdot 0.25 \cdot 0.8 = 4 \, \text{kBt}.$$

3. Часные постройки с различными условиями, рассчитаем их по выкупленной стоимости от 5 до 15кВт.

$$P_{\text{сум}} = 3 \cdot 5 + 6 \cdot 10 + 5 \cdot 15 = 105$$
кВт.

Сумма по фидеру:

$$P_{\phi 4} = 299 + 4 + 105 = 453 \text{kBt}.$$

От Ф-5 запитан 10и этажный дом- 3 подъезда, 120кв с электрическими плитами:

$$P_{\rm M}=120\cdot 1,97\cdot 1=236,4$$
кВт.

Мощность лифтовых установок:

$$P_{\pi} = 3 \cdot 0.9 \cdot 7.5 = 20.22 \text{kBt}.$$

Суммарная расчетная нагрузка:

$$P_{\text{M}} = 236,4 + 20,22 = 256,65 \text{ kBt}.$$

От Ф-9 запитан детский сад на 340мест, с пищеблоком, санитарной электрической системой (водонагреватели, насос), прачечной.

$$P_{\text{д.c}} = 340 \cdot 0.46 \cdot 0.97 = 151.7 \text{ kBt.}$$

Пищеблок:

$$P_{\text{п.б}} = 340 \cdot 1,04 \cdot 0,98 = 346,5 \text{ kBt.}$$

Прачечная:

$$P_{\text{TI}} = 102 \cdot 0.075 \cdot 0.8 = 6.12 \text{ kBt}.$$

Водонагреватели и насос:

$$P_{\rm R} = (2 \cdot 13 + 3) \cdot 0.8 = 23.2 \,\text{kBt}.$$

Суммарная расчетная нагрузка по садику:

$$P_{\text{сум,дc}} = 151,7 + 346,5 + 6,12 + 23,2 = 527,5 \text{кBT}$$

От Ф-14 запитаны:

1. многоэтажный жилой дом:16 этажей с 2 лифтами,128кв, насосом для водоснабжения верхних этажей:

$$P_{\pi}^{=} = 128 \cdot 1,46 = 186,9 \text{kBt}.$$

Мощность лифтовых установок:

$$P_{\pi} = 0.9 \cdot (7.5 + 13) = 18.45 \text{ kBt}.$$

Мощность насоса:

$$P_{\rm H}=5\cdot 1=5\kappa {\rm Bt}.$$

Суммарная расчетная нагрузка по дому:

$$P_{\text{сум.д}} = 186,9 + (0,9 \cdot 23,45) = 208,01 \text{кBt}.$$

2. Пивной павильон 30м<sup>2</sup> с кондиционером:

$$P_{\rm M} = 30 \cdot 0.25 \cdot 0.8 = 6$$
кВт.

3. Продуктовый павильон площадью 200м<sup>2</sup> с кондиционером:

$$P_{\text{пп}} = 210 \cdot 0.16 \cdot 0.9 = 30.24 \text{ kBt}.$$

Сумма по фидеру:

$$P_{\text{cym.}\Phi} = 208,01 + 6 + 30,24 = 244,24 \text{kBt}.$$

От Ф-25 запитана детская больница на 250мест:

$$P_{\text{д.6}} = 250 \cdot 0.8 = 200$$
кВт

От Ф-26 запитано:

1. Многоэтажный дом: 3подъзда -10этажей с лифтом; 2 подъезда 7этажей без лифта с электрическими плитами:

$$P_{\text{д109}} = 120 \cdot 1,34 = 160,8$$
кВт $P_{\pi79} = 56 \cdot 2,12 = 118,7$ кВт

Мощность лифтовых установок:

$$P_{\pi} = 0.65 \cdot (3 \cdot 7.5) = 14.63 \text{ kBt}.$$

Суммарная расчетная нагрузка по дому:

$$P_{\text{CVM},II} = 160.8 + 118.7 + 14.63 = 294.13 \text{ kBT}$$

2. Два дома улучшенной комфортности: 2 подъезда, 10этажей.

$$P_{\text{д109}} = 80 \cdot 2,4 = 192 \text{кBT}$$

3. Офисные помещения  $39\text{m}^2$ , $50\text{m}^2$ , $22\text{m}^2$ с кондиционером:

$$P_0 = (39 + 50 + 22) \cdot 0.054 \cdot 0.87 = 5.12 \text{kBt}.$$

4. Офисные помещения  $35\text{m}^2$ , $55\text{m}^2$ , $40\text{m}^2$  без кондиционера:

$$P_0 = (35 + 55 + 40) \cdot 0.043 \cdot 0.9 = 5.03 \text{kBT}$$

5. Парикмахерская на 5 рабочих места:

$$P_{\Pi} = 5 \cdot 1,5 = 7,5 \text{ kBt}.$$

6. Часные постройки с различными условиями, рассчитаем их по выкупленной стоимости от 5 до 15кВт.

$$P_{\text{ж.д}} = 5 \cdot 5 + 10 \cdot 7 + 4 \cdot 15 = 140 \text{кBT}$$

Сумма по фидеру:

$$P_{\text{сум.}\Phi} = 192 \cdot 2 + 294,13 + 5,12 + 5,03 + 7,5 + 140 = 835,8кВт.$$
 От  $\Phi$ -29 запитаны:

1. 3 дома на природном газе, без лифта, 36кв.

$$P_{\pi} = 36 \cdot 1,16 = 42 \text{KBT}$$

2. Часные постройки с различными условиями, рассчитаем их по выкупленной стоимости от 5 до 15кВт.

$$P_{\text{ж,л}} = 10 \cdot 5 + 5 \cdot 15 = 125 \text{кBT}$$

Сумма по фидеру:

$$P_{\text{сум.}\phi} = 42 \cdot 3 + 125 = 251 \text{кBt}.$$

От Ф-15 запитано кафе на 150 посадочных мест:

$$P_{\text{kade}} = 180 \cdot 1,04 \cdot 0,98 = 183,4 \text{kBt}.$$

От Ф-17 запитаны поликлиника на 150 человек.

$$P_{\text{пол}} = 150 \cdot 0.8 = 120 \text{ kBT}$$

От Ф-19 запитаны:

1. Жилой 5 этажный дом без лифта на природном газе. На первом этаже которого расположен большой продуктовый магазин, площадь которого  $350\text{м}^2$ . Для расчета берем площадь за минусом хозяйственных помещений:

$$P_{\text{маг}} = 0.25 \cdot 0.8 \cdot 201 = 40.2$$
кВт.  $P_{\text{ж.л.}} = 1.46 \cdot 48 = 70$ кВт.

2. Торговые павильоны 150м<sup>2</sup> и 46 м<sup>2</sup> с кондиционером:

$$P_{\text{пав}} = 0.16 \cdot 0.9 \cdot (150 + 46) = 28.2 \text{ kBt}.$$

3. Павильон «Союз печать»  $6 \text{ m}^2$ :

$$P_{\text{C.II}} = 0.25 \cdot 0.8 \cdot 6 = 1.2 \text{ kBt.}$$

4. Часные постройки с различными условиями, рассчитаем их по выкупленной стоимости от 5 до 15кВт.

$$P_{\text{\tiny q.\Pi}} = 2 \cdot 5 + 2 \cdot 10 + 1 \cdot 15 = 45 \text{kBT}$$

Сумма по фидеру:

$$P_{\text{cvm.}\Phi} = 40.2 + 70 + 28.2 + 1.2 + 45 = 184.6 \text{kBt}.$$

От Ф-20 запитаны:

1. 2 дома: по 10 этажей, 6 подъездов, 240кв с электрическими плитами:

$$P_{\pi} = 240 \cdot 1,34 \cdot 1 = 321,6$$
кВт.

Мощность лифтовых установок:

$$P_{\pi} = 0.65 \cdot (6 \cdot 7.5) = 29.25 \text{kBt}.$$

Суммарная расчетная нагрузка по дому:

$$P_{\text{сум.д}} = 321,6 + 29,25 = 350,85 \text{кBT}$$

2. Парикмахерская на 3 рабочих места:

$$P_{\Pi} = 3 \cdot 1,5 = 4,5 \text{ kBt}.$$

3. Офис площадью 27м<sup>2</sup>с кондиционера:

$$P_0 = 27 \cdot 0.054 \cdot 0.87 = 1.3 \text{ kBt}.$$

4. Офис площадью  $80\text{м}^2$  без кондиционера:

$$P_0 = 80 \cdot 0.043 \cdot 0.9 = 3.1 \text{ kBt}.$$

Сумма по фидеру:

$$P_{\text{CVM},\Phi} = 350,85 \cdot 2 + 4,5 + 1,3 + 3,1 = 710,6 \text{ kBt}.$$

От Ф-21 запитаны:

- 1. Ночная автостоянка, посчитаем ее по выкупленной мощности 3кВт.
- 2. Лесхоз рассчитаем как домик на участках садоводческих товариществ:

$$P_{\Pi} = 1 \cdot 4 = 4 \kappa BT$$
.

3. Часные постройки с различными условиями, рассчитаем их по выкупленной стоимости от 5 до 15кВт.

$$P_{\text{ч.п}} = 5.5 + 10.10 + 8.15 = 245 \text{ kBt}.$$

Сумма по фидеру:

$$P_{\text{сум.}\Phi} = 3 + 4 + 245 = 252 \text{кBt}.$$

Вносим данные выполненных расчетов в таблицу сравнительного анализа фактических нагрузок и расчетных нагрузок потребителей 2.3.

В таблицах 2.1. и 2.2. электрическая нагрузка по фидерам указана в единицах измерения - Ампер. Для удобства сравнения переведем указанные значения нагрузок в другую единицу измерения - кВт, с помощью формулы 2.8:

$$P = \sqrt{3} \cdot I \cdot U \cdot \cos \varphi \,\,\,\,(2.8)$$

Таблица 2.3 - Сравнительный анализ фактических нагрузок и расчетных нагрузок потребителей

| Номер секции | Номер фидера     | Электрическая<br>нагрузка, А | Замеренная электрическая нагрузка, кВт. | Рассчитанная Электрическая нагрузка, кВт. |
|--------------|------------------|------------------------------|---|---|
|              | Ф-2              | резерв                       |   |   |
| 1я           | Ф-4 ТП-198       | 49                           | 480                                     | 453                                       |
|              | Ф-5 ТП-159       | 25                           | 245                                     | 256,65                                    |
|              | Ф-6              | резерв                       |   |   |
|              | Ф-9 ТП-198       | 57                           | 558                                     | 527,5                                     |
| 2я           | Ф-11             | резерв                       |   |   |
|              | Ф-12             | резерв                       |   |   |
|              | Ф-14 ТП-159      | 26                           | 258                                     | 244,24                                    |
|              | Ф-24             | резерв                       |   |   |
|              | Ф-25 ТП-157 (Т1) | 20                           | 196                                     | 200                                       |
|              | Ф-26 ТП-197      | 85                           | 833                                     | 835,8                                     |
| 3я           | Ф-27             | резерв                       |   |   |
|              | Ф-28             | резерв                       |   |   |
|              | Ф-29 ТП-242      | 25                           | 245                                     | 251                                       |
| 4я           | Ф-15 ТП-211      | 17                           | 167                                     | 183,4                                     |

| Ф-17 ТП-157 (Т2) | 11     | 108 | 120   |
|------------------|--------|-----|-------|
| Ф-28             | резерв |     |       |
| Ф-19 КТП-127     | 19     | 186 | 185   |
| Ф-20 ТП-197      | 78     | 764 | 710,6 |
| Ф-21 ТП-242      | 26     | 254 |       |

3 Расчет токов короткого замыкания

Выполнение расчета токов короткого замыкания (КЗ) требуется для подбора и проверки оборудования, разработка и наладки устройств релейной защиты и автоматики, разработка заземления и т.д.

Выберем для нашего оборудования, трехфазный ток КЗ из-за наибольшего значения в сетях 6(10) кВ. При определении тока КЗ в сетях 1000В и более рассчитывается только индуктивное сопротивление элементов цепи. Расчет выполнен в относительных единицах. На рисунке 3.1 отображена расчетная схема токов КЗ. На рисунке 3.2 отображена схема замещения.

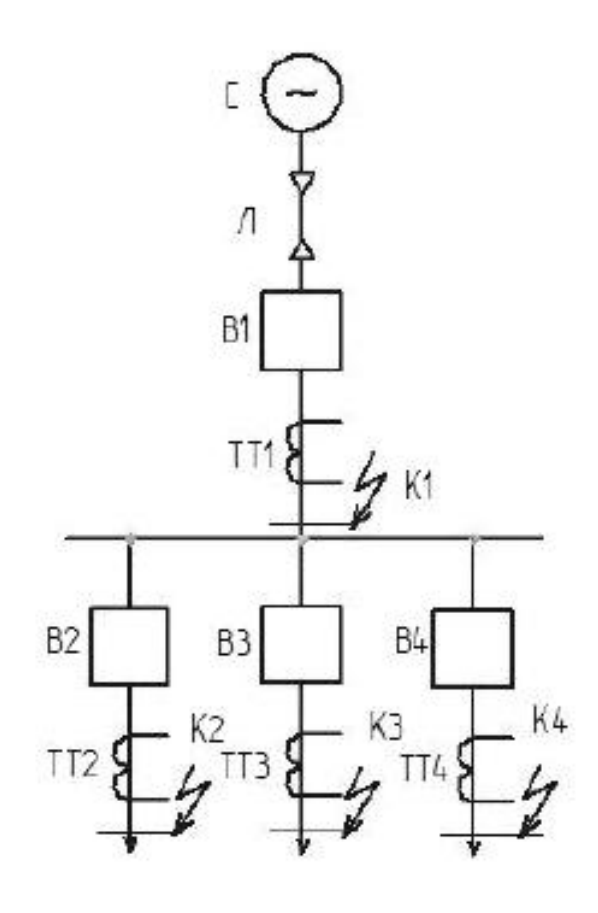


Рисунок 3.1 - Расчетная схема

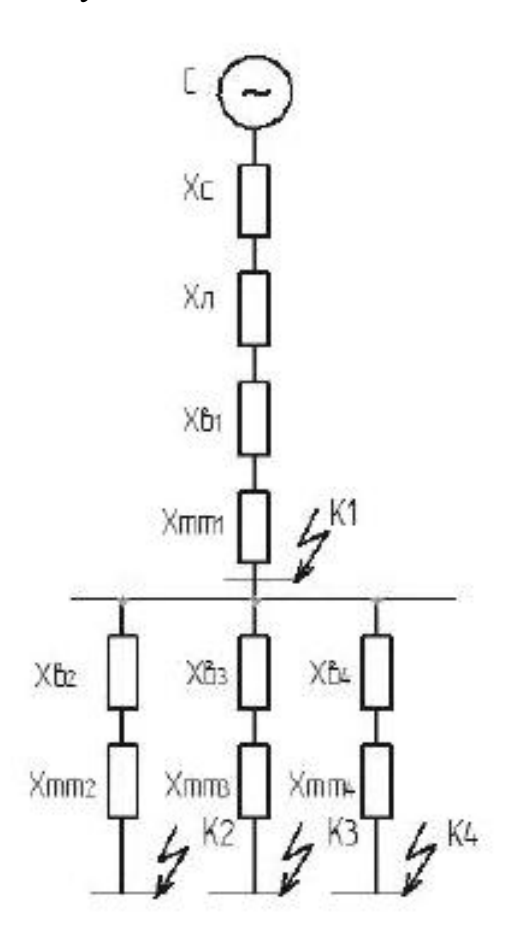


Рисунок 3.2 - Схема замещения

Контакты выключателей трансформаторов тока имеют очень маленькие индуктивные сопротивления и<sup>3</sup> соответственно, их можно не учитывать в расчете.

Исходные данные:

Система:

 $U_{H} = 6 \kappa B, S_{0} = 1000 MBA,$ 

Питание от ГПП «Северная» секция 1 и 2:

 $S\kappa = 94,17MBA$ ,

Питание от ГПП «Западная» секция 3 и 4

 $S\kappa = 77,51MBA$ ,

Линия:

 $Xo = 0.071 \, OM \, \kappa \Gamma$ ,  $l = 0.89 \kappa M$ ,  $UH = 6 \kappa B$ .

 $X_0 = 0.071_{\ OM\ KM'}$  «сопротивление кабеля, определяемое по справочнику» [2].

Вычисление сопротивлений частей схемы.

Исходя из схемы замещения, определяем сопротивление каждого из элементов цепи.

Сопротивление системы:

$$Xc = \frac{S6}{S\kappa}$$
A)
$$Xc = \frac{1000}{94,17} = 10,6$$

$$Xc = \frac{1000}{77,52} = 12,9$$

Сопротивление в линии:

$$X_{\pi} = X_0 \cdot L \cdot \frac{S_6}{U^{2_H}},$$

$$X_{\pi} = 0.071 \cdot 0.89 \cdot \frac{1000}{6.3^2} = 1.592$$
(3.2)

Результирующее сопротивление в точке К1:

$$X_{pes} = Xc + X\pi,$$
 (3.3)  
A)

$$X_{pe3} = 10,6 + 1,59 = 12,19$$
  $X_{pe3} = 12,9 + 1,59 = 14,49$ 

При последующих расчетах используем наибольшее значение  $X_{\rm pes} = 14,\!49$ 

Определяем базисный ток:

$$I_{6} = \frac{86}{\overline{3} \cdot U_{B}},$$

$$I_{6} = \frac{1000}{\overline{3} \cdot 6.3} = 91.6 \text{kA}$$
(3.4)

Вычисляем первое действующее значение периодической составляющей тока КЗ:

$$I_{\text{no}}^3 = I_6 \cdot \frac{E_6}{x_{\text{pes}}},\tag{3.5}$$

$$I_{\text{no}}^3 = 91.6 \cdot \frac{1}{14.49} = 6.32 \text{ KA}.$$

Величина ударного тока КЗ составит:

$$i_{y_{\text{M}}} = \overline{2 \cdot I}_{n,\text{o}} \cdot k_{y_{\text{M}}},$$
 (3.6) 
$$k_{y_{\text{M}}} = 1,72i_{y_{\text{M}}} = \overline{2 \cdot 6,32 \cdot 1,72 = 15,37 \kappa A},$$

«где ударный коэффициент, определяемый в справочнику» [2].

В точках К2, К3 и К4 результирующее сопротивление соответствует результирующему сопротивлению в точке К1, в связи с тем, что значения индуктивных сопротивлений контактов выключателей, а также трансформаторов тока не значительны, их сопротивления в расчет не принимаются. Также значение тока К3, базисного и ударного тока в К2, К3, К4 будут эквивалентны значениям в К1.

#### 4 Выбор комплектного распределительного устройства

«Выбор комплектных распределительных устройств (КРУ)»[2] осуществляется по ряду характеристик:

• Номинальному напряжению:

$$U_{\text{сет.ном}} \le U_{\text{ном}},$$
  
 $6\kappa B \le 6\kappa B$ 

• Номинальному току:

$$I_{\text{p.max}} \leq I_{\text{HOM}},$$

С учетом перегрузки в 40% расчетный ток составит:

$$I_{p.\text{max}} = I_p \cdot 1.4,$$
 (4.1)  
 $I_{p.}I_{p.\text{max}} = 85 \cdot 1,4 = 119, A$ 

где – максимальное значение тока на выходящих фидера:

$$119A \le 630A$$

Таблица 4.1 - Выбор камер КРУ

| Величины               | Расчетные | Каталог   | Характеристика                           |
|------------------------|-----------|-----------|--|
| Номинальное напряжение | 6кВ       | 6кВ(10кВ) | $U_{\text{cet.hom}} \leq U_{\text{hom}}$ |
| Номинальный ток        | 119 A     | 630 A     | $I_{\text{p.max}} \leq I_{\text{HOM}}$   |

Для замены существующих камер (ячеек) в качестве камер комплектного распределительного устройства выбираем КСО-298.Выбранные камеры также имеются на подобных объектах АО «ОРЭС-Тольятти», у которого имеется большой положительный опыт их эксплуатации.

К достоинствам камер КСО-298 относится их низкая стоимость в сравнении с другими марками КРУ, а также легкость и простота в процессе

эксплуатации и технического обслуживания. Внешний вид камеры КСО-298 представлен на рисунке 4.1.



Рисунок 4.1 - Внешний вид камеры КСО-298

Размеры камеры КСО-298 составляют: ширина 0,75 м., толщина 1,1 м., высота 2,65 м.

- «В камеры КСО-298 можно установить следующее оборудование:
- вакуумные выключателя: BB/TEL, BBM-СЭЩ, EVOLIS и др.;
- -трансформаторы тока: ТЛП-10, ТПОЛ-10, ТОЛ-10 и др.;

- -разъединители РВЗ и РВФЗ 630, 1000A с приводами ПР-10 и заземляющими ножами;
  - трансформаторы напряжения: ЗНИОЛ, НАЛИ-СЕЩ, ЗНИОЛ и др.;
  - -ограничители перенапряжения: ОПН-6, ОПН-10.;
  - -предохранители: ПКН, ПКТ;
  - -силовые трансформаторы ТМГ-20, ТМГ-40.»[19]
- КРУ КСО-298 КСО и можно перечислить ряд преимуществ: и можно перечислить ряд преимуществ:
- «-один универсальный размер ячеек, даже ячейки с трансформатором собственных нужд;
- -корпус изготовлен из тонколистовой оцинкованной стали, с специальным полимерным покрытием, что выполняет заданную коррозийную стойкость и прочность;
  - -внутреннюю шину заземления;
- -смотровые окна для контроля расположения оборудования и иллюминации отсеков;
- большой выбор элементной базы вспомогательных цепей, в том числе и микропроцессоры;»[19]
  - -все нужные механические блокировки:
    - увеличенный кабельный отсек, позволяющий подключить 2 «трехфазных кабеля сечением до 240 мм2 или 3 однофазных сечением до 500 мм2;»[19]
    - опция по демонтажу трансформаторов и выключателя без разборки камер для последующего ремонта или замены;
  - высокий уровень безопасности, в связи с использованием закрытых шин;
- малые габариты ячеек по сравнению с другими камерами КРУ, это дает большое преимущество в размерах РП.

#### 5 Выбор электрических аппаратов и токоведущих частей

На распределительной подстанции установлены выключатели ВПМ-10, относящиеся к жидкостным высоковольтным выключателям с незначительным объемом дугогасящей жидкости (трансформаторного масла).

Работа выключателя основана на принципе гашения электрической дуги, которая образуется при разъединении контактов потоком газомасляной смеси, возникающей в итоге интенсивного расслоения трансформаторного масла под воздействием высокой температуры в процессе горения дуги. Данный поток приобретает определенное направление в специализированном дугогасительном устройстве, которое размещено в зоне горения дуги. Включение выключателей происходит за счет энергии привода ПП 67, а отключение за счет энергии отключающих пружин выключателя. Данное оборудование имеет 100% моральный и физический износ и требует замены на более современное и удобное в эксплуатации.

Подбору оборудования распределительного пункта предшествует обозначение расчетных условий, в которых указываются расчетные рабочие токи присоединений и токи КЗ.

После этого осуществляется сравнение расчетных значений с номинальными характеристиками аппаратов, подбираемых по каталогам и справочникам.

Кроме этого при подборе оборудования учитываются такие параметры, как вид установки, вес, конструкция, экономическая составляющая, простота монтажа в РП и др.

#### 5.1 Выбор выключателей

Выключатель подбирается по следующим ТХ:

1) номинальному току:

$$I_{\text{p.max}} \leq I_{\text{HOM}}$$

$$119A \le 1000A$$

2) номинальному напряжению:

$$U_{\text{сет.ном}} \le U_{\text{ном}}$$
  
6кВ  $\le$  6кВ

- 3) отключающей способности:
- а) симметричному току отключения:

$$I_{n,\tau} \le I_{\text{откл.ном}},$$
  
6,23кА  $\le$  20кА,

б) отключению апериодической составляющей тока КЗ:

$$i_{a au} \leq i_{a. ext{hom}},$$
  $i_{a. ext{hom}} = ( \ \ \overline{2 \cdot eta_{ ext{hom}} \ \ 100) \cdot I_{ ext{otkj.hom}}}$ 

(5.1)

$$i_{a \text{ HOM}} = \overline{2 \cdot 0.2 \cdot 20 = 5.65 \text{ kA}}$$

$$i_{a.\tau} = \overline{2 \cdot I_{\Pi,0} \cdot e^{-\tau T_a}},$$
 (5.2)  
 $i_{a.\tau} = \overline{2 \cdot 6,32 \cdot 0.17 = 1,52 \kappa A},$ 

$$1,52$$
κ $A ≤ 5,65$ κ $A$ ,

«где  $i_{a. au}$  -величина апериодической части в отключаемом токе для времени

$$\tau = t_{\rm ps} + t_{\rm c.b},$$

 $t_{\rm p3}{=}0.01~{\rm c}$  -значение времени действия релейной защиты;

 $t_{\text{с.в}}$  время срабатывания выключателя;

 $t_{\text{нор}}$  нормированное содержание апериодической составляющей в отключаемом токе, %, которое определяется по известным кривым»[6]

4) электродинамической стойкости:

$$I_{n.o} \leq I_{\text{прс}},$$

$$28$$

$$6,23$$
кА  $\leq 20$ кА,  $i_{yд} \leq i_{прс}$ ,  $15,37$ кА  $\leq 52$ кА,

«где  $I_{npc}$  -действующее значение предельного тока K3;

 $i_{\rm прc}$  -амплитудное значение тока КЗ. Значения представлены в каталожных данных выключателя.»[6]

5) термической стойкости:

$$B_{\scriptscriptstyle 
m K} \leq I_T^2 \cdot t_T$$

если  $t_{\text{откл}} \le t_{\text{T}}$  то:

$$B_{\mathrm{K}} \leq I_T^2 \cdot t_{\mathrm{OTKJ}}$$

«где  $I_T^2$  ток термической устойчивости;

 $t_{\text{откл}}$  длительность протекания тока термической устойчивости. Значения представлены в каталожных данных выключателя»[4].

«Термическая стойкость с продолжительностью К3=0.2с рассчитывается по следующей формуле:»[4]

$$B_{\kappa} = I_{\text{п.o}}^3 \cdot t_{\text{откл}} + T_{\text{a}},$$
 (5.3)  
 $B_{\kappa} = 6,32^2 \cdot 0,2 + 0,04 = 9,59 \text{ kA}^2 \cdot \text{c},$ 

«где  $T_a$  - постоянная времени затухания апериодической составляющей тока КЗ и определяется по справочнику»[6].

Учитывая, что  $t_{\text{откл}} < t^{\text{T}}$ , термическая стойкость с продолжительностью КЗ выбранного выключателя рассчитывается следующим образом:

$$I_{\rm T}^2 \cdot t_{\rm откл} = 20^2 \cdot 0.2 = 80 \,\mathrm{kA^2 \cdot c},$$
 (5.4)

Расчетные токи КЗ:

$$I_{\text{п.о}}^3 = 6,32$$
кА,  $i_{\text{уд}} = 15,37$ кА.

На основании результатов расчета подбираем вакуумный выключатель BB/TEI-10-20/1000 У2. Выбранный выключатель изображен на рисунке. 5.1.



Рисунок. 5.1 - Выключатель ВВ/ТЕІ-10-20/1000 У2

Вакуумные выключатели выбранной серии ВВ/ТЕІ- это коммутационные приборы нового поколения, принцип действия которых основан на гашении электрической дуги, возникающей при разъединении контактов в глубоком вакууме, «при этом фиксация контактов вакуумных дугогасительных камер (ВДК) в замкнутом положении происходит за счет остаточной индукции приводных электромагнитов ("магнитная защелка").»[6]

Таблица 5.2- Выбор вакуумного выключателя.

| Величины               | Расчетные              | Каталог              | Характеристика                             |
|------------------------|------------------------|----------------------|--|
| Номинальное напряжение | 6кВ                    | 6кВ                  | $U_{\text{cet.hom}} \leq U_{\text{hom}}$   |
| Номинальный ток        | 119 A                  | 1000 A               | $I_{\mathrm{p.max}} \leq I_{\mathrm{Hom}}$ |
| Отключающая            | 6,32 кА                | 20 кА                | $I_{n.\tau} \leq I_{\text{откл.ном}}$      |
| способность            | 1.52 кА                | 5,65 кА              | $i_{a\tau} \le i_{a.\text{HOM}}$           |
| Электродинамическая    | 6,32 кА                | 20 кА                | $I_{n.o} \leq I_{\pi pc}$                  |
| стойкость              | 15,37 кА               | 52 кА                | $i_{ m y_A} \leq i_{ m npc}$               |
| Термическая стойкость  | 9,59 кА <sup>2</sup> с | 80 кА <sup>2</sup> с | $B_{\rm K} \le I_T^2 \cdot t_{\rm OTKJ}$   |

Делаем вывод, что выключатель который был нами выбран по каталогу - проходит проверку и подходит для использования на реконструируемом РП.

#### 5.2 Выбор трансформатора тока

Выбор трансформаторов тока осуществляется по следующим ТХ:

1) номинальному току:

$$I_{\text{p.max}} \le I_{\text{HOM}}$$

$$119A \le 600A$$

2) номинальному напряжению:

$$U_{\text{сет.ном}} \le U_{\text{ном}}$$
  $6$ кА  $\le 10$ кА

3) электродинамической стойкости:

$$i_{yA} = K_{3A} \cdot \overline{2} * I_{HOM}$$
 (5.5)  
 $i_{yA} = 100 \cdot \overline{2 \cdot 0.6} = 84.85A$   
 $15.37 \text{KA} \le 84.85 \text{KA}$ 

3) термической стойкости:

$$B_{\kappa} \le K_T^2 \cdot I_{1\text{HOM}}^2 \cdot t_T = I_T^2 \cdot t_T$$
  
 $45^2 \cdot 0.6^2 \cdot 3 = 2187 \kappa A^2 \cdot c$  (5.6)  
 $9.59 \kappa A^2 \cdot c \le 2187 \kappa A^2 \cdot c$ 

- «5) конструкции и классу точности;
- 6) вторичной нагрузке.»[4]

Исходя из характеристик, берем трансформатор тока ТПЛ-10. Внешний вид подобранного трансформатора тока изображен на рис. 4.2.

Данные трансформатора тока из каталога и полученные путем расчета представлены в таблице 5.3.

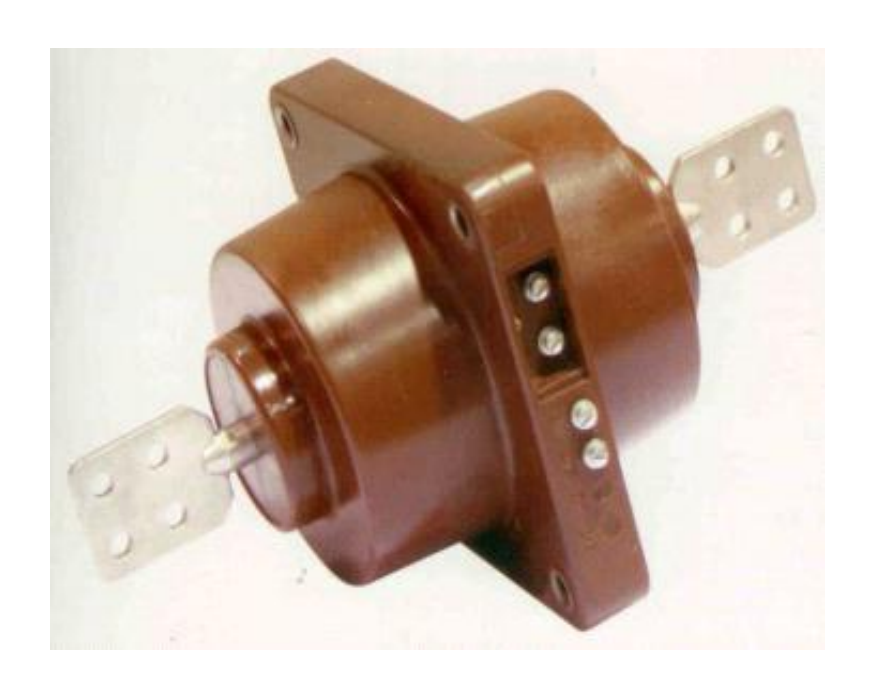


Рисунок 5.2 - Трансформатор тока ТПл-10

Таблица 5.3- Расчетные данные трансформатора тока и данные по каталогу

| Величины                      | Расчетные              | Каталог                | Характеристика  |
|-------------------------------|------------------------|------------------------|---|
| Номинальное напряжение        | 6кВ                    | 6кВ(10кВ)              | $U_{\text{HOM}} \leq U_{\text{cet.HOM}}$                  |
| Номинальный ток               | 119 A                  | 600 A                  | $I_{\rm p} \leq I_{\rm HOM}$                              |
| Электродинамическая стойкость | 15,37 кА               | 84,85 кА               | $i_{y,x} = K_{3,x} \cdot \overline{2} * I_{HOM}$          |
| Термическая стойкость         | 9,59 кА <sup>2</sup> с | 2187 кА <sup>2</sup> с | $B_{\kappa} \leq K_T^2 \cdot I_{1\text{HOM}}^2 \cdot t_T$ |

Вывод: В качестве измерительного прибора выбираем для установки мультиметр: PM130EH PLUS.

#### 5.3 Выбор трансформатора напряжения

Трансформатор напряжения подбирается по следующим ТХ:

1) По номинальному напряжению:

$$U_{\text{ном}} \le U_{\text{сет.ном}}$$
 $6 \text{кB} \le 10 \text{кB}$ 

«Вследствие того, что вторичная нагрузка на трансформатор напряжения от мультиметра PM130EH PLUS составляет ничтожную величину, то выбор трансформатора напряжения производим по номинальному напряжению.»[6]

Исходя из наших характеристик, нам подходит трансформатор напряжения ЗНОЛп-6. Этот трансформатор напряжения - измерительный. «Он годится для размещения в выбранных камерах КСО-298 и от него осуществляется питание контрольно-измерительных приборов, релейных (микропроцессорных) защит и приборов учета электроэнергии. Трансформатор напряжения ЗНОл-6 представлен на рисунке 5.3.»[19]



Рисунок 5.3 - Трансформатор напряжения ЗНОл-6

### 5.4 Выбор разъединителя

Разъединитель выбираем по следующим ТХ:

1) номинальному току:

$$I_{\mathrm{p.max}} \leq I_{\mathrm{Hom}}$$

$$119A \le 1000A$$

2) номинальному напряжению:

$$U_{\text{HOM}} \leq U_{\text{CET.HOM}},$$

3) электродинамической стойкости:

$$I_{n,o} \leq I_{npc}$$

$$i_{
m yд} \leq i_{
m прc}$$
,

4) термической стойкости:

$$B_{\kappa} \leq I_T^2 \cdot t_T$$

Если  $t_{\text{откл}} \leq t_T$ , то

$$B_{\kappa} \le I_T^2 \cdot t_{\text{откл}}$$
  
9,59κA<sup>2</sup> · c  $\le$  80κA<sup>2</sup> · c;

5) виду установки и конструкции.

Расчетные значения разъединителя аналогичны выключателю и указаны в пункте 5.1

Исходя из ТХ, выбираем разъединитель PBФ3-10/630, установка которого возможна в выбранных камерах КСО-298. Назначение данного разъединителя:

-безопасное выполнение работ на отключенном участке.

«-включение и отключение участков электрической цепи, находящихся под напряжением, при отсутствии нагрузочного тока.

-отключение и включение кабельных и воздушных линий, тока холостого хода трансформаторов и токов малых нагрузок.»[19]

Между основным валом и валом заземляющих ножей в данном разъединителе имеется механическая блокировка. Указанный вид блокировки делает практически невозможным ошибочное включение.

Разъединитель изображен на рисунке 5.4.



Рисунок 5.4 - Разъединитель РВФ3-10/630

Таблица 5.4 - Расчетные данные разъединителя и данные из каталога

| Величины               | Расчетные              | Каталог              | Характеристика                             |
|------------------------|------------------------|----------------------|--|
| Номинальное напряжение | 6кВ                    | 6кВ                  | $U_{\text{HOM}} \leq U_{\text{Cet.HOM}}$   |
| Номинальный ток        | 119 A                  | 1000 A               | $I_{\mathrm{p.max}} \leq I_{\mathrm{Hom}}$ |
| Электродинамическая    | 6,32 кА                | 20 кА                | $I_{n.o} \leq I_{\pi pc}$                  |
| стойкость              | 15,37 кА               | 51 кА                | $i_{ m yg} \leq i_{ m npc}$                |
| Термическая стойкость  | 9,59 кА <sup>2</sup> с | 80 кА <sup>2</sup> с | $B_{\rm K} \le I_T^2 \cdot t_{\rm откл}$   |

Делаем вывод, что выбранный разъединитель проверку прошел и его можно использовать для реконструкции на РП-16.

# 5.5 Выбор жестких шин

Расчет сечения жестких шин осуществляется на основании экономической плотности тока согласно формуле:

$$S = \frac{I_{\text{p.Hom}}}{j_{\text{9K}}};$$

$$S = \frac{119}{1,3} = 91,5 \text{mm}^2;$$
(5.10)

Полученной площади сечения соответствуют шины прямоугольного сечения размером  $60 \times 6$ мм 2с  $I_{доп}=880$ A.

Проверка выбранного сечения осуществляется по:

1) длительно допустимому току нагрева:

$$I_{\max}\langle I_{\max},$$

 $119\,A\langle 880\,A$ 

2) термической стойкости при КЗ.

По условиям термической стойкости находится минимальное сечение:

$$S_{\min} = \frac{\overline{B_{K}}}{C_{T}};$$

$$S_{\min} = \frac{\overline{9,59} \cdot 10^{3}}{90} = 34.41,$$
(5.11)

«С<sub>т</sub> - коэффициент, зависящий от допускаемой температуры при Кз и материала проводника»[6] (в нашем случае он равен 90).

Таким образом шины термически стойкие, исходя из:

$$S_{\min}\langle S_{Max},$$
 34.41 $MM^2\langle 360MM^2,$ 

3) частоте собственных колебаний для предотвращения механического резонанса.

Величина электродинамических сил, которые образуются при КЗ, меняется с частотой 50 и 100 Гц. Если собственные частоты соответствуют данным значениям, то нагрузки на шины и изоляторы увеличатся. Собственные

частоты должны находиться в пределах: меньше 30 и больше 200 Гц - в этом случае механического резонанса не возникает.

Частота собственных колебаний шины вычисляется по следующей формуле:

$$f_0 = \frac{r_1^2}{2\pi l^2} \cdot \frac{\overline{EJ}}{m'},$$

$$f_0 = \frac{4,73^2}{2 \cdot 3.14 \cdot 1.5^2} \cdot \frac{7 \cdot 10^{10} \cdot 0.21 \cdot 10^{-8}}{0.97} = 19,46 \Gamma \text{ц},$$

«где I = 1.5 м. - расстояние между изоляторами;

J - момент инерции поперечного сечения шины»[6], вычисляемой по формуле:

$$J = \frac{h \cdot b^3}{12};$$

$$J = \frac{6 \cdot 0.6^3}{12} = 0.21 \text{cm}^4 = 0.21 \cdot 10^{-8} \text{m};$$
(5.13)

« $E=7\cdot10^{10}$ Па -модуль упругости шины;

R=4.73 - значение основной собственной»[6] части шины

m – масса шины вычисляется по формуле:

$$m = \rho \cdot b \cdot h \cdot l; \tag{5.14}$$

$$m = 2.7 \cdot 10^{-3} \cdot 6 \cdot 0.6 \cdot 100 = 0.972 \,\mathrm{kr}$$
 м;

«где  $\rho = 2.7 \cdot 10^{-3} \; \text{кг} \; \text{ cm}^3 \; \,$  -плотность материала шины(алюминий);

1 – принятая длина 1 м.»[6]

Так как частота свободных колебаний менее 30 Гц и равняется 19.46 Гц, механический резонанс не появляется, то есть, данные шины соответствуют требуемым условиям.

4) электродинамической стойкости при К3:

$$σ$$
<sub>раб</sub> $⟨σ$ <sub>доп</sub>

«где  $\sigma_{\text{доп}} = 89 \text{М} \Pi \text{а}$  - допустимое напряжение в материале шин марки АД31Т.»[6]

«Напряжение в материале шин при взаимодействии фаз определяется по формуле:

$$\sigma_{\text{max}} = \frac{\overline{3} \cdot 10^{-7} \cdot l_{\text{M}}^2 \cdot i_{\text{уд}}^2 \cdot k_{\phi} \cdot k_{\text{распр}}}{\lambda \cdot w \cdot a};$$

$$\sigma_{\text{max}} = \frac{\overline{3} \cdot 10^{-7} \cdot 1,5^2 \cdot 15370^2 \cdot 0,65 \cdot 1}{12 \cdot 0,36 \cdot 10^{-6} \cdot 0,8} = 17,3M\Pi a,$$
(5.15)

где  $l_{\text{из}}$  = 1,5 м. - длина пролета;

a = 0.8 м. - расстояние между фазами;

 $k_{\phi} = 0.65$  - коэффициент формы, определяется по кривым в справочнике.

 $k_{\text{расп}} = 1$  - коэффициент, зависящий от расположения проводников, определяется по справочнику

 $\lambda = 12$  коэффициент, зависящий от условия закрепления шины определяемый по справочнику»[6]

«W – момент сопротивления поперечного сечения шины находится по следующей формуле.»[6]

$$W = \frac{hb^2}{6};$$

$$W = \frac{6 \cdot 0.6^2}{6} = 0.36 \cdot 10^{-6} \text{m}^3;$$
(5.16)

Исходя из этого, делаем вывод — шины механически прочны, так как  $17,3M\Pi a \langle 80M\Pi a,$ 

# 5.6 Выбор изоляторов

Жесткие шины монтируются на опорных изоляторах. Сделаем проверку изолятора ИОР-10-7.5 УХЛ2, высота этого изолятора  $H_{u_3} = 1,2$  м. Изолятор служит для укрепления и изоляции в распред устройствах и электрических аппаратах токоведущих частей.

Проверка соответствия опорных изоляторов выполняется по следующим критериям:

1) Номинальное напряжение:

$$U_{\text{ном}} \le U_{\text{сет.ном}}$$
 $6\kappa B \le 10\kappa B$ 

2) Допустимая нагрузка на головку опорного изолятора.

Максимальная нагрузка вычисляется по формуле

$$F_{\text{pacu}} = \overline{3} \frac{i_{\text{el}^2}}{a} k_{\phi} \cdot k_{\text{pacu}} \cdot l_{\text{M3}} \cdot 10^{-7},$$

$$F_{\text{pacu}} = \overline{3} \frac{15370^2}{0.8} 0.6 \cdot 1 \cdot 1.5 \cdot 10^{-7} = 45,9 \text{H},$$
(5.17)

Размеры, внешний вид опорного изолятора представлены на рис. 5.5 (ИОР-10-7,5 II УХЛ2)

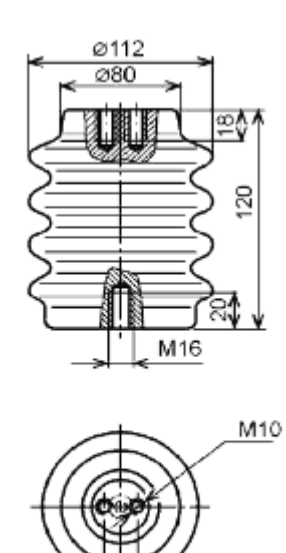


Рисунок 5.5 – Размеры, внешний вид опорного изолятора ИОР-10-7.5 II

УХЛ2

$$F_{\text{доп}} = 0.6 \cdot F_{\text{разр}} \frac{H_{\text{из}}}{\text{H}};$$
 (5.18)  
 $F_{\text{доп}} = 0.6 \cdot 7500 \frac{0.120}{0.156} = 3529 \text{H}$ 

«где  $F_{pa3p}$  — минимальное разрушающие усилие на изгиб, по данным из каталогов;»[6]

Н из – высота изолятора;

$$H = H_{\text{H}3} + b + \frac{h}{2};$$
 (5.19)  
 $H = 0.120 + 0.006 + 0.03 = 0.156 \text{MM}.$ 

Необходимо, чтобы выполнялось условие:

$$F_{pacy}\langle F_{\partial on},$$
 45,9 $H\langle 3529 H,$ 

Т.к. условие выполняется, принимаем данный изолятор.

## 6 Релейная защита и автоматика

«Релейная защита представляет собой группу объединённых автоматических устройств, которые предназначены для определения и отделения повреждённых элементов в случае аварии, от электроэнергетической системы. Целью релейной защиты (РЗ) является обеспечение нормальной работы всей системы. Релейная защита должна осуществлять постоянный контроль состояния всех элементов электроэнергетической системы и реагировать на все возникшие повреждения и ненормальные режимы. При обнаружении повреждений релейная защита должна определить поврежденный участок и отключить его от электроэнергетической системы.»[21]

Расчет наибольшей токовой защиты от перегрузок, уставок реле:

- -Первичный номинальный ток уже известен, он равный I<sub>н</sub>=91,6A
- -Первичный расчетный ток

$$I_{\rm cp} = \frac{\kappa_{\rm H} \cdot m_{\rm CH}}{\kappa_{\rm B}} \cdot I_{\rm H};$$

$$I_{\rm cp} = \frac{1.2 \cdot 2.5}{0.8} \cdot 91, 6 = 343, 5A;$$
(6.1)

-Ток уставки реле

$$i_{\rm cp} = \frac{\kappa_{\rm ch} \cdot I_{\rm cp}}{n_{\rm T}};$$
 (6.2)  
 $i_{\rm cp} = \frac{\overline{3} \cdot 343, 5}{80} = 7,43A;$ 

«Где к<sub>сн</sub> принимаем за корень из 3х

 $n_{T}$ -коэффициент трансформации равный 80».[2]

В каждой камере КСО-298 РП-16 устанавливается микропроцессорное устройство релейной защиты - «Сириус 21-Л». Внешний вид «Сириус 21-Л» изображен на рисунке 6.1.



Рисунок 6.1 - МПУ «Сириус 21-Л»

Микропроцессорное устройство (МПУ) дистанционно отслеживает параметры защиты и дистанционное управление. МПУ «Сириус 21-Л» хорошо зарекомендовало себя на других объектах АО «ОРЭС-Тольятти». К положительным качествам данного МПУ можно отнести и относительную малую стоимость, это не маловажно при выборе МПУ релейной защиты.

«МПУ «Сириус 21-Л» имеет следующие защитные функции:

- логическую защиту шин;
- выдача сигнала пуска максимальной токовой защиты (МТз), для организации логической защит шин;
- трехступенчатую МТЗ от междуфазных повреждений, с контролем двух или трех фазных токов;
  - защиту от обрыва фазы;
- автоматический ввод ускорения любых ступеней МТз при любом включении выключателя;»[21]

Автоматические функции МПу «Сириус 21-Л»:

- возможность подключения внешних защит;
- исполнение внешних команд на включение и отключение выключателя;

- вывод сигнала устройства резервирования при отказе своего выключателя;
- исполнение входного сигнала УРОВ при отказах нижестоящих выключателей.

МПУ «Сириус 21-Л» имеет ряд дополнительных диагностических функций:

- обозначение вида повреждения при срабатывании МТЗ;
- измерения времени срабатывания защиты и отключения выключателя;
- запись токов в момент аварии;
- измерения текущих фазных токов;
- цифровой осциллограф и регистратор событий.

«МПУ «Сириус 21-С» выполняет необходимые эксплуатационные возможности:

- сохранение и ввод уставок защит и автоматики;
- контроль положения выключателя, а также контроль состояния цепей управления;
  - трансляцию параметров аварии, ввод и замена уставок по линии связи;
  - непрерывный мониторинг работоспособности;
- при неисправности устройства выполнение блокировки всех выходов,
   эта опция необходима для устранения ложных срабатываний;
  - задание внутренней конфигурации;
- высокое сопротивление и прочность изоляции входов и выходов относительно корпуса и между собой;
- получение дискретных сигналов управления и блокировок, выдачу команд управления, аварийной и предупредительной сигнализации.» [21]

# 7 Выбор трансформатора собственных нужд РП-16.

В зависимости от типа и мощности распределительной подстанции эл.питание собственных нужд (СН), а именно: освещение распределительного устройства, отопление ячеек КРУ и т.д. происходит от одного или 2-х установленных трансформаторов в зависимости от значимости потребителей СН. Необходимо отметить, что мощность трансформаторов СН на подстанции не может быть больше 63 кВА.

Для обеспечения безопасности от короткого замыкания трансформатор СН 0.4 кВ подключают к шинам 6 кВ через предохранитель ПКТ-104.

Для подбора трансформатора СН и определения его необходимой мощности определим суммарную мощность всех потребителей и учтем коэффициент загрузки.

В таблице 7.1 - Состав и мощности электроприемников СН

| Потребитель                                | Общая мощность СН,кВт |
|--|-----------------------|
| Отопление                                  | 6                     |
| Освещение                                  | 1                     |
| Эксплуатационные нагрузки                  | 20                    |
| Итого                                      | 27                    |
| С учетом коэффициента загрузки $K_3 = 0.7$ |                       |
| Итого                                      | 18,9                  |

На нашем объекте имеется встроенная трансформаторная подстанция ТП-157 в которой установлены ТСН-25кВА. На основании полученных в подсчетах данных, мы не будем устанавливать свои трансформаторы СН. А необходимую мощность возьмем оттуда.

#### 8 Размещение и монтаж

Камеры КСО-298 предназначены для работы в закрытых помещениях со следующими характеристиками:

- t окружающей среды не ниже 25°C (min значение);
- t окружающей среды не выше + 40°C (тах значение);
- влажность воздуха 98% относительная при температуре +25°C;
- среда окружающая:
  - невзрывоопасная;
  - не содержит агрессивных паров, газов, разрушающих металлы и изоляцию;
    - не содержит токопроводящую пыль;

РУ КСО-298 является цельной конструкцией, выполненной из камер, соединённых между собой. «В состав каждой камеры входят уже установленные аппараты, приборы автоматики и измерения, также приборы релейной защиты, автоматики и управления.

Поставка КСО-298 осуществляется отдельными камерами или блоками, включающими в себя до 3-х камер, в каждой из которых уже имеются соединения главных и вспомогательных цепей, а также части стыковок блоков и камер в распредустройство.»[18]

Все выводы и вводы - кабельные. «Заливка для камер фундамента осуществляется на одном уровне. Установка камер осуществляется с помощью приваривания закладных элементов фундамента через 4 отверстия. Ввод в камеру прокладывается в кабельных каналах, расположенных внизу камеры. Конструкция КСО-298 предназначена для подключения не более шести 1-жильных высоковольтных кабелей сечением до 500 мм² или трех 3-х жильных высоковольтных кабелей сечением 240 мм².»[18]

«Заземление камер осуществляется путем присоединения шин заземления к камере болтом заземления. Для металлических частей оборудования,

находящегося внутри камеры, а также для открытых металлических элементов, к которым возможно прикосновение, обеспечен электрический контакт с металлокаркасами камер КСО с использованием зубчатых шайб или шинок заземления.»[18]

«Указанные камеры выполнены из листовых панелей толщиной 2-3 мм. Все детали защищены от коррозии с помощью специального полимерного или гальванического покрытия.»[18] С передней части камеры предусмотрены дверцы для доступа к электрическим аппаратам, расположенные внутри. На верхней и задней стенке ячейки размещены линейные разъединители и шинные заземлители. На передней панели находятся приводы данных аппаратов. У каждого привода есть два положения включения и отключения. Предусмотрено запирание привода на навесной замок.

Для блокировки предусмотрена возможность установки электромагнитных замков. Блокировка приводов разъединителя механически связана с силовым валом выключателя, что полностью исключает возможность работы с ножами заземлителей и разъединителей при отключённом выключателе.

К сборным шинам доступ возможен через специальную решетку которая защищает от случайного контакта.

Шины расположены в верхней части камеры. Установлены шины вертикально, начиная с находящееся в непосредственной близости к передней стенки камеры фазы C, а затем шины B и A.

Выключатель смонтирован в камере стационарно. Управление выключателем производится с лицевой стороны камеры. Для того, чтобы проникнуть в блок управления требуется снятие защитного кожуха, который выступает за пределы фасада камеры. Кроме этого в камере предусмотрено снятие блока выключателя для его ремонта, в случае выхода из строя. Для снятия выключателя с целью ремонта требуется открутить болт крепления и соединение шин из 12и болтов.

В камерах КСО-298 имеются механические блокировки, которые расположены в пределах одной камеры и не допускают проведение таких неверных действий, как:

 – включение или отключение разъединителя, в тот период времени, когда выключатель находится во включённом положении;

-выключение или включение заземляющих ножей, когда включен разъединитель или выключатель.

#### 9 Заземление и молниезащита.

Для защиты человека от удара электрическим током, от удара молний, от волн проходящих в линии согласно ПУЭ7 все ТП и РП должны быть заземлены. Для этих целей прокладывают внешний и внутренний контур заземления. Так как ТП и РП сильно не отличаются по своей специфике, рассмотрим общий случай. Система заземления состоит из внешнего, внутреннего контура и молниезащиты.

Внешний контур заземления представляет собой замкнутую систему с несколькими вертикальными электродами. За электроды принимаем уголок стальной равнополочный 50\*50\*5мм. Укладывают наружный контур по периметру здания подстанции на расстоянии 1м. Интервал между электродами 3м. Полоса заземлителя представляет из себя стальную полосу которая ставиться на ребро в траншее глубиной 0,7м. Удельное сопротивление грунта принимаем  $P_{rp}$ =700 Ом.м.

Найдем по формуле 9.1 допустимое сопротивление:

$$R_3 = \frac{R_{\rm rp}}{100} \cdot R_3 \tag{9.1}$$

$$R_3 = \frac{300}{100} \cdot 10 = 700 \text{M}.$$

По формуле 9.2 найдем «сопротивление растеканию вертикального заземления:»[15]

$$R_{\rm B} = \frac{0.366 \cdot \rho_{\rm pacq.B}}{l} \cdot lg \frac{2l}{d} + \frac{1}{2} lg \frac{4t \cdot + l}{4t \cdot - l} , \qquad (9.2)$$

$$R_{\rm B} = \frac{0.366\cdot1400}{3} \cdot lg \frac{2\cdot3}{0.95} + \frac{1}{2}lg \frac{4\cdot2.1\cdot+3}{4\cdot2.1-3} = 438.95 \text{ Om.}$$

«где l=3м- длина вертикального заземления; d-диаметр стержневого заземления, для уголка q = 0,95b,м;» [15]

$$ho_{
m pacu.b} = k_c \cdot 
ho_{
m rp,}$$
 (9.3)  
 $ho_{
m pacu.b} = 2 \cdot 700 = 1400 \ {\rm Om} \cdot {\rm m},$ 

«где  $k_c$ =2-коэффициент сезонности;» [15]

$$t' = t_0 + \frac{1}{2}l,$$
 (9.4)  
 $t' = 0.6 + 1.5 = 2.1 \text{ M},$ 

«t<sub>0</sub>-глубина вершины вертикального заземлителя,м.» [15]

Расчет вертикальных заземлителей, количества:

$$n_{\rm B} = \frac{R_{\rm B}}{\eta_{\rm B} \cdot R_3},\tag{9.5}$$

$$n_{\rm B} = \frac{438,95}{0.5 \cdot 70} = 13,55 \text{ m}$$

«где  $\eta_{\rm B}$ =0,5-коэффициент использования вертикальных заземлителей, установленных по контуру.»[15]

Количество вертикальных заземлителей берем равное 14шт.

Длину горизонтального заземления рассчитываем по формуле 9.6.

$$l_{\Gamma} = \mathbf{a} \cdot n_{\mathbf{B}_{\mathsf{I}}} \tag{9.6}$$

$$l_{\Gamma} = 3 \cdot 14 = 42$$
 M.

Сопротивление растеканию горизонтального заземления:

$$R_{\rm r} = \frac{0.366 \cdot \rho_{\rm pacq.r}}{l_{\rm r}} \cdot lg \, \frac{2l_{\rm r}^2}{b \cdot t_{\rm o.}} \tag{9.7}$$

$$R_{\Gamma} = \frac{0.366 \cdot \rho_{\text{pacy.r}}}{42} \cdot lg \frac{2 \cdot 42^2}{0.04 \cdot 0.7} = 106 \text{ OM},$$

где  $ho_{
m pac-u.r}$  рассчитывается по формуле:

$$\rho_{\text{pac-u.r}} = k_{\text{c}}' \cdot \rho_{\text{rp,}} \tag{9.8}$$

$$\rho_{\text{pacy.r}} = 4.5 \cdot 700 = 3150 \text{ Om} \cdot \text{M}.$$

«где  $k_c$ =4,5- коэффициент сезонности» [15]

Действительное сопротивление растеканию горизонтального заземлителя рассчитывается по формуле 9.9.

$$R'_{\Gamma} = \frac{R_{\Gamma}}{\eta_{\Gamma}}$$
 (9.9)  
 $R'_{\Gamma} = \frac{106}{0.32} = 331,25 \text{ Om.}$ 

«где ŋ<sub>г</sub>=0,32-коэффициент использования» [15]

Далее рассчитаем сопротивление растеканию вертикального и горизонтального заземления:

$$R'_{\rm B} = \frac{R_{\rm \Gamma} \cdot R_{\rm 3}}{R_{\rm r} - R_{\rm 3}},$$

$$(9.10)$$

$$R'_{\rm B} = \frac{331,25 \cdot 70}{331,25 - 70} = 88,7 \text{ Om.}$$

По формуле 9.11 перепроверим количество вертикальных заземлителей:

$$n'_{\rm B} = \frac{R_{\rm B}}{\eta_{\rm B} \cdot R_{\rm B}},$$
 (9.11)  
 $n'_{\rm B} = \frac{438.45}{0.5 \cdot 88.7} = 9.88 \,\text{mt}.$ 

По итогам расчетов 10шт вертикальных заземлителей будет достаточно.

На крыше укладываем сетку 3\*3 метра состоящую из проволоки диаметром 8мм. С противоположных сторон здания выполняем связь кровельного покрытия с внешним контуром заземления. Проходящая по фасаду полоса заземления должна быть защищена от коррозии и механического повреждения.

В РП-16 встроена ТП-157, поэтому в здании 3 помещения. Каждое из этих помещений оборудовано системой контура внутреннего заземления. Все части не находящиеся под напряжением должны соединяться с внутренним контуром заземления. Контур проходит по стенам на высоте 0,4м, закрепляют его держателем К-188 с периодичностью 0,6-1,0м. Переносное заземление соединяется с основной системой с помощью «гайка-барашек». Для визуального контроля за целостностью соединения, гибкие перемычки заземления осуществляется проводом ПВЗ без изоляции.

# 10 Дуговая защита на РП-16

Дуговая защита одна из разновидностей быстродействующей защиты от короткого замыкания, которое сопровождается открытой электрической дугой.

Устройство применяется для защиты от электрической дуги силового оборудования распределительных электроустановок 0,4-35 кВ.

В РП-16 при реконструкции предусмотрен монтаж дуговой защиты на базе устройства ОВОД-МД. «В распределительном пункте устанавливаются 2 устройства. Первое устройство на 1 и 2 секции шин, второе на 3 и 4 секции шин.»[20] Внешний вид устройства изображен на рисунке 10.1.



Рисунок 10.1- Внешний вид устройства ОВОД-МД

Устройство посредством волоконно-оптических датчиков (далее по тексту ВОД) регистрирует на световую вспышку в инфракрасном диапазоне от электрической дуги, передает сигнал на отключение питающего напряжения. В распределительном устройстве отключением осуществляется защита оборудования разрушения, сводятся к минимуму OT практически оборудования, исключаются риски повреждения a также защита обслуживающего персонала.

«Волоконно-оптические датчики дуговой защиты количеством 62 шт. в РП-16 монтируются: в водных ячейках, на сборных шинах, в отсеках кабельных вводов выводов.»[20] Волоконно-оптический датчик показан на рисунке 10.2.



Рисунок 10.2 - Волоконно-оптический датчик дуговой защиты на основе полимерного кабеля

«Выбор устройства ОВОД-МД обусловлен рядом преимуществ по сравнению с другими видами дуговой защиты.» [20]

Устройство предусматривает непрерывную работу в неотапливаемых помещениях.

В высоковольтных ячейках устанавливаются только пассивные компоненты устройства, которые не реагируют на электромагнитные помехи: объектив ВОД и волоконно-оптический кабель (далее по тексту ВОК). Совместно с гальванической развязкой раздельных входов, выходов и питания, осуществляется высокая защита устройства от помех.

«Для повышения избирательности и надежности команда на отключение силового оборудования осуществляется при совпадении 2-х факторов- световой вспышки от электрической дуги и срабатывания максимальной токовой защиты (далее по тексту МТЗ) без выдержки времени или срабатывания защиты минимального напряжения (далее по тексту ЗМН).»[20]

Устройство выполняет:

- автоматический контроль работоспособности оптоэлектронного тракта (ВОД, блоки фиксации света и тестирования, электронные составляющие в цепях образования сигналов отключения, блок питания);
- подачу команд на отключение выключателей трех ступеней силовых электрических цепей:
  - «1 ступень- выключатель высокого напряжения;
  - 2 ступень- выключатель ввода или секционный выключатель;
  - 3 ступень- выключатель фидерной ячейки.» [20]
- «- установление по номеру датчика отсека ячейки распределительного устройства, в котором развилась электрическая дуга, в результате применения ВОД радиального типа;
- формирование 20 сигналов отключения от 40 групп датчиков и наличие 6 раздельных входов от МТЗ и ЗМН;
- создание гибкой логики работы устройства с корректировкой на месте установки устройства;
- сохранение в памяти устройства при исчезновении питающего напряжения данных о состоянии устройства на момент отключения и выведении устройства в первоначальное состояние при подаче напряжения;
- поддержание рабочего состояния в течении 2 секунд после исчезновения оперативного тока;
  - ввод/вывод из работы любого количества ВОД;
- проверку работы и логики функционирования устройства при производстве пуско-наладочных работ и техническом обслуживании с пульта управления устройства ОВОД-МД (без моделирования световой вспышки от электрической дуги);»[20]
- соединение по стандартным последовательным каналам RS232 с ПК или RS485 с автоматической системой управления, которое позволяет отдаленно вести управление и контроль исправность работы устройства;

- автоматической сохранение временной диаграммы всех поступивших дискретных сигналов при активации: датчиков, входов МТЗ и выходов отключения;
- сбор информации о сигналах отклонения в работе устройства, исчезновении оперативного тока и общего сигнала о включении дуговой защиты;
  - индикацию состояния устройства в текущий момент времени;
  - часы текущего времени, с возможностью корректировки;
  - одновременную защиту 2-х секций;
- защиту от ошибочных срабатываний при освещении волоконнооптического датчика лампой 60Вт, при выходе из строя соединений и деталей в цепях образования сигналов отключения;
  - возможность работы при загрязнении линзы датчика;
- простота установки устройства, датчики устанавливаются без точного направления;
- минимизация материальных потерь при эксплуатировании данного устройства.

#### Заключение

В данной работе произведены описания и расчеты по выбору оборудования для реконструкции РП-16. Рассчитаны токи трёхфазного короткого замыкания, по которым отобраны аппараты и оборудование РП: вакуумные выключатели ВВ/ТЕL, разъединители марки РВФз, приборы учёта и контроля на подстанции, трансформаторы тока типа ТЛп, шины марки АД31Т и опорные изоляторы марки ИОл, произведены вычисления соответствия трансформатора собственных нужд.

Осуществлен выбор микропроцессорных устройств релейной защиты с необходимым расчетом для неё тока уставок. Проработано размещение и монтаж оборудования и токоведущих частей на РП- 16.

Таким образом, выбранное оборудование для реконструируемого РП–16, отвечает всем необходимым нормативам и требованиям обеспечивает полную защиту от всех непредвиденных режимов работы.

## СПИСОК ИСПОЛЬЗУЕМЫХ ИСТОЧНИКОВ

- 1. Правила устройства электроустановок. Издание 7 [Электронный ресурс] / URL: https://www.elec.ru Яз. рус. (дата обращения 25.02.2018 г.).
- 2. ГОСТ Р 52736-2007. Короткие замыкания в электроустановках. Методы расчета электродинамического и термического действия тока короткого замыкания. Внед. 2007-07-12.–М.: Филиал ОАО«НТЦ электроэнергетики»- ВНИИЭ, МЭИ. 2007.– 44 с.
- 3. РД 34.20.185-94 Инструкция по проектированию городских электрических сетей.[Электронный ресурс]. изм. 1999г. Москва.
- 4. Кудрин Б.И. Электроснабжение: Учебник для студентов учреждений высшего профессионального образования/ Б.И. Кудрин.— М.: ИЦ Академия. 2015.-192с.
- 5. Неклепаева Б.Н. Руководящие указания по расчету токов короткого замыкания и выбору электрооборудования РД 153-34.0.-20.527-98 / под ред. Б.Н. Неклепаева.— М.:Изд-во НЦ ЭНАС. 2006.
- 6. Степкина Ю.В. Проектирование электрической части понизительной подстанции/ учебно-методическое пособие по выполнению курсового и дипломного проектирования/Ю.В.Степкина,В.М.Салтыков. Тольятти. 2012-124с.
- 7. Самолина О.В. Моделирование релейной защиты элементов системы электроснабжения: лабораторный практикум для студентов очной и заочной формы обучения/ О.В.Самолина, С.В. Шаповалов.-Тольстти:ТГУ. 2012.-47с.
- 8. Салтыкова О.А. Релейная защита понизительной трансформаторной подстанции: учеб. пособие для курсового и дипломного проектирования/О.А. Салтыкова, В.В. Вахнина, О.В. Самолина.-Тольятти:ТГУ. 2012.-47с.

- 9. Кокин С.Е., Схемы электрических соединений подстанций/ учебное пособие/ С.Е.Кокин, С.А.Дмитриева, И.И. Хальская- Екатеринбург, Издательство Уральского университета. 2015-248с.
- 10. Сибикин Ю.Д. Электроснабжение/ учебное пособие/ Ю.Д. Сибикин. М.:Директ- медиа, 2014-156с.
- 11. Почаевец В.С. Электрические подстанции/Учебник/ В.С. Почаевец— М.: Издательство УМЦ ЖДТ. 2012-491с.
- 12. Маньков В.Д. Основы проектирования систем электроснабжения/ Учебник /В.Д. Маньков– С.: Прокниг. 2010-214с.
- 13. Радкевич В.Н. Проектирование систем электроснабжения/ Учебник/ В.Н. Радкевич–М.: Пион. 2009-321с.
- 14. Макаров Е.Ф. Справочник по электрическим сетям 0.4-0.35 кВ и 110-1150кВ: в 6-ти т./ Е.Ф. Макаров; под ред.гл. специалистов ОАО «Мосэнерго»— М.:Энергия. 2006-698с.
- 15. Маньков В.Д., Заграничный С.Ф. Защитное заземление и защитное зануление электроустановок: Справочник / В.Д Маньков, С.Ф. Заграничный—СПб.: Политехника. 2005. 400 с.
- 16. Герасимова В.Г. Электротехнический справочник: В 4 т. Т. 3. Производство, передача и распределение электрической энергии / Под общ. ред. профессоров МЭИ В.Г. Герасимова и др. 9-е изд., стер. М.: Издательство МЭИ. 2004. 964 с.
- 17. Красник В.В., Эксплуатация электрических подстанций и распределительные устройства: учеб. пособие/ В.В. Красник.— М.: Издательство ЭНАС. 2011.- 320 с.
- 18. Инструкция по эксплуатации КСО-298 [Электронный ресурс]. M.,2016. <a href="https://energohroekt.su">URL:https://energohroekt.su</a> (дата обращения 18.02.2018).

- 19. Кривулец И. Статья: Заземление и молниезащита трансформаторной подстанции.[Электронный ресурс].2017. URL: <a href="https://electricvdome.ru">https://electricvdome.ru</a> (дата обращения 10.03.2018).
- 20. Устройство дуговой защиты «ОВОД-МД». Руководство по применению [Электронный ресурс], С-П.:2017г.URL:http://enerqyiand.info (дата обращения 15.01.2018).
- 21. Инструкция по эксплуатации «Сириус21-Л» [Электронный ресурс].М.:2015г. URL:https://e-tmm.tiu.ru/p214297179
- 22. Prof. Baosen Zhang. Fundamentals Of Electrical Energy Systems (Power Applications of Electricity)[Электронный ресурс]/ Prof. Baosen Zhang // http://electrical-engineering-portal.com/download-center/books-and-guides/electrical-engineering/energy-systems (дата обращения 05.04.18)
- 23. Edvard C. Lighting Essentials Y ou Can't Deny [Электронный ресурс]/ C. Edvard// ER:Electrical Review.2016. http://electrical-engineering-portal.com (дата обращения 01.03.2018)
- 24. Edvard C. How residual current device (RCD) works?[Электронный pecypc]/ C. Edvard // ER:Electrical Review.2016. http://electrical-engineering-portal.com/how-residualcurrent-device-rcd-works(дата обращения 01.03.2018)
- 25. Edvard C. Maintenance Of Low V oltage Circuit Breakers [Электронный ресурс]/ C. Edvard //ER:Electrical Review.2016. <a href="http://electrical-engineering-portal.com/maintenance-oflow-voltage-circuit-breakers">http://electrical-engineering-portal.com/maintenance-oflow-voltage-circuit-breakers</a> (дата обращения 01.03.2018)
- 26. Edvard C. The Case Of Real Time Reactive Compensation[Электронный pecypc]/C. Edvard//ER: Electrical Review.2015.http://electrical-engineering-portal.com/the-case-of-realtime-reactive-compensation(дата обращения 01.03.2018)